

京都大学工学部 赤井浩一  
 " 足立紀高  
 京都大学大学院 ○東木雅和

1. はじめに

半固結状態にある堆積岩の力学特性を明らかにすることは、間隙水の影響の大小で土質材料と岩石質材料を区別する立場を取ると、学術的には土質力学と岩石力学の境界領域の問題であり、土木工学の面からは、これら軟岩を基礎地盤として重量構造物を建設することの可否や設計指針を与えるために必要である。

本研究は神戸付近に広く分布する多孔質の凝灰質細粒砂岩を試料に選り三軸応力下の応力-変形曲線のクリープ特性を実験的に調べ、その理論づけと構造物基礎地盤としての設計指針を与えることを目的としている。ここでは、比較的側圧(0~10 kg/cm<sup>2</sup>)のもとで、応力-変形、強度特性はらびに間隙水圧の影響について調べた結果を報告する。

2. 試料と実験装置

試料は神戸市垂水区下畑町地先で、地表面下約10mで採取した神戸層群の多井畑累層に属する凝灰質細粒砂岩である。地質調査によると、神戸層群は花崗岩と不整合を以て断層に接し、多井畑累層と岩屋累層に分れている。さらに多井畑累層は、(I)砂岩、泥岩互層、(II)砂岩、(III)凝灰岩、凝灰質砂岩層の三層に大別され、しかもこれらの単層はかたらずし平均値ではなく強度的の差がかなり存在するところが明らかになっている。この事はじゅうぶん留意すべき知見である。

供試体は約50mm立方のブロックとして採取したものを、コーカッターを用いて整形し、直径50mm、高さ100mmの円筒形である。試料の物理諸量は表-1に示すが、間隙水比が0.66、飽和度 $S_r$ が100%である。

側圧に対する実験装置は、通常土質用三軸試験機を用い、試験は平均 $3.7 \times 10^{-4} \%$ /minと $2.6 \times 10^{-4} \%$ /minの変位制御で行っている。ここで平均と記したのは荷重とアルービンリングで測定しているから、厳密に一定の変位制御で行うことが不可能であるためである。

間隙水圧の測定は、当初 Null Balance 型の装置を用いたが、現在は受圧面の直径が5mmの半導体型圧力変換器を用いている。この圧力変換器の圧力に対する受圧部の容積変化は $1.8 \times 10^{-6} \text{ cm}^3/\text{kg/cm}^2$ であり、水の圧縮率 $4.9 \times 10^{-5}/\text{kg/cm}^2$  (15℃)と比較しても、供試体内と導管部の水の占める容積を考慮すれば微小である。このことから測定精度は高く、さらに長期安定性と温度変化に対する補償も考れている。

表-1 物理諸量

含水比	$w$	24.50 %
湿潤密度	$\gamma_t$	2.02 g/cm <sup>3</sup>
乾燥密度	$\gamma_d$	1.63 g/cm <sup>3</sup>
間隙水比	$e$	0.66
飽和度	$S_r$	(15) 100 %
粒子比重	$\rho_s$	2.70

### 3. 実験方法と結果

実験は非排水せん断試験(U-Test)と圧密非排水せん断試験(CU-Test)を行っている。間ゲキ水圧の測定は双方において行っているが、以下の方法を取っている。供試体とセットする前に三軸室内にサフションを作用させ、約1時間、間ゲキ水圧測定系と排水系を脱気を行い、供試体セット後0.2 kg/cm<sup>2</sup>の側圧を作用させ10分間排水を行ないセットの際に混入した余分の水と空気を排除し、その後、所定の側圧を作用させ、せん断を開始するまでの約1時間、発生間ゲキ水圧が定常になりまで待つ。実際には5~10分で定常状態に達する。この結果より、等方作用圧力(側圧 $\sigma_c$ )と発生間ゲキ水圧 $U_0$ の関係を図-1に示す。これから $U_0 = \sigma_c - 0.90$  (kg/cm<sup>2</sup>)となりSkemptonのB値は1で、試料を採取した場所が地表面下約10mであることを、飽和度が100%に近く骨格の圧縮率が水のそれにくらべ大であることなどが結論づけられる。U-Testはこの後直ちにせん断を行なうが、CU-Testでは0.5 kg/cm<sup>2</sup>の initial back pressure を適用し約18時間圧密してから、非排水せん断を行なう。

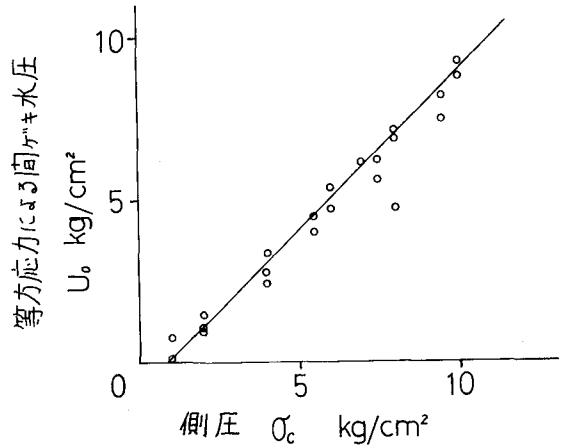


図-1 等方応力による発生間ゲキ水圧

側圧の大きよこする応力-ひずみと強度への影響を調べるため、U-Testを2つ、各側圧に1つ、応力、間ゲキ水圧-ひずみ曲線の代表的ものを図-2に示す。この図から間ゲキ水圧のピークは最大強度に達する前に生じ、それ以後は減少する。また側圧が2 kg/cm<sup>2</sup>以下では側圧の増大による強度の増大がみられるが、側圧が2 kg/cm<sup>2</sup>以上になると強度は増大しない。この実をより明らかにするため、 $(\sigma_1 - \sigma_3)_{max}$  と側圧の関係を示したものが図-3である。図-2で間ゲキ水圧がピークに達するまでと弾性領域と考えると、非排水条件の

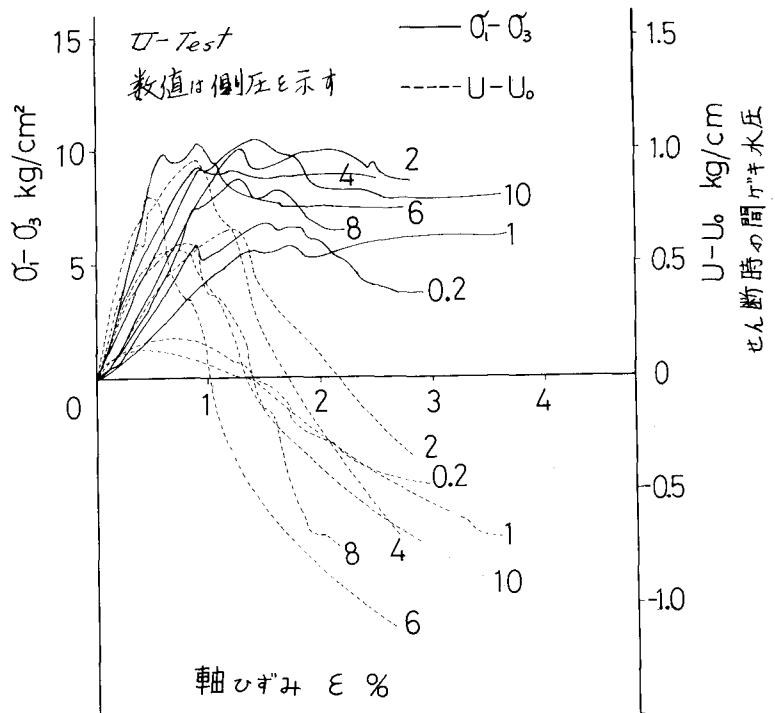


図-2 応力、間ゲキ水圧-ひずみ曲線

もとの、理想弾性係として解析できるのは、必ずしも1%までであるといえる。UT-Testの結果とMillerの岩石の工学的分類を拡大解釈して、各種側圧に対する強度 $(\sigma_1 - \sigma_3)_{max}$ と応力-ひずみ曲線の $\frac{1}{2}(\sigma_1 - \sigma_3)_{max}$ に相当する英における接線勾配として求めた変形係数E50の関係を示したのが図4である。この試料はほぼ完全飽和であるから、ポアソン比を0.5と近似して、理想弾性係の応力-ひずみ関係を用いると、 $E = (\sigma_1 - \sigma_3) / \epsilon$ と求まるから、E50は $(\sigma_1 - \sigma_3) - \epsilon$ 曲線から求まると考えてよい。この図からUT-Testによる本試料の平均圧縮強度は10 kg/cm<sup>2</sup>、変形係数E50は10<sup>3</sup> kg/cm<sup>2</sup>で、側圧のいかんにかかわらず、弾性係として解析は必ずしも1%までと結論づけられる。

以上のことから、強度の増大は圧密とせん断時の排水によるものが期待できず、逆に高側圧による圧密により、長期に渡って形成された構造の破壊による強度低下も考えられる。この観測から行っているのがCT-Testである。

図5はCT-Testによる応力、間隙水圧-ひずみ曲線の代表例である。この図から明らか、圧密圧力の増大とともに強度の増大がみられる。なおUT-Testと異なり、間隙水圧は最大応力まで最大値に達し、そのときのひずみも圧密圧力の増大とともに増加している。なお変形係数E50はUT-Testほどは大きく、 $2 \times 10^3$  kg/cm<sup>2</sup>である。したがって弾性解析を行おうとするひずみの範囲はUT-Testに対してより増大している。

これらのことから、本試料に対しては間隙水の排水条件とその挙動が力学特性に多大の効果を与えており、有効応力による解析の必要がある。図6はせん断とともに間隙水圧と $(\sigma_1 - \sigma_3)_{max}$

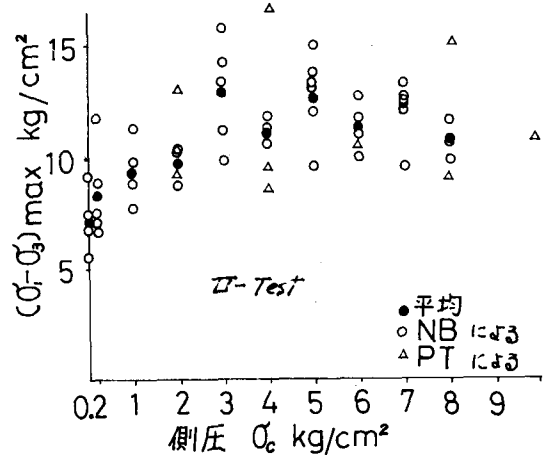


図-3 各側圧力と最大強度

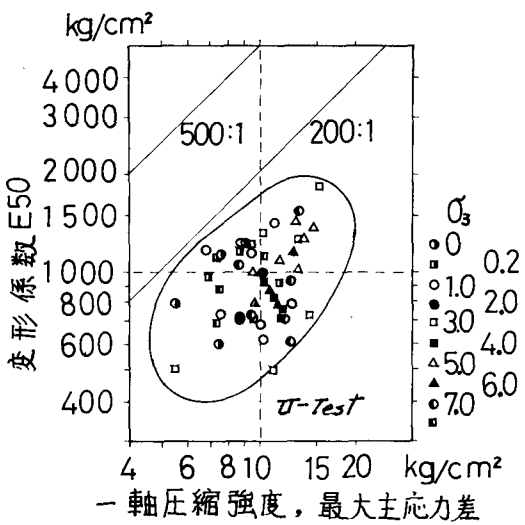


図-4 圧縮強度-E50 関係

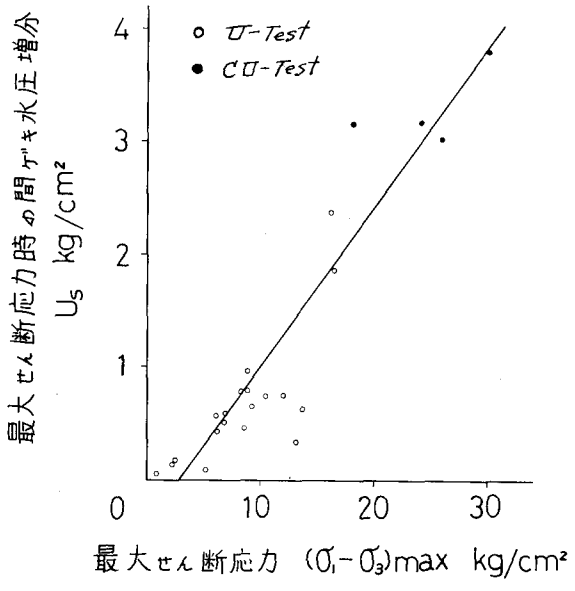


図-6 最大せん断応力と発生間隙水圧の関係

の関係を示す図で、Skemptonの $A_f$ -値は、この直線の勾配として求まる0.13である。図-7は有効応力 $\sigma'$ と $\sigma$ とのMohrの応力円を示し、 $10 \text{ kg/cm}^2$ の側圧 $u$ ではMohr-Coulombの破壊基準が近似的に適用でき、有効応力 $\sigma'$ の内部摩擦角と粘着力はそれぞれ $\phi' = 40^\circ$ 、 $c' = 3 \text{ kg/cm}^2$ である。近似的としたのは図-8に示す、有効応力比 $(\sigma' - \sigma_3) / \sigma_m$ と間隙水圧 $u$ の図から、内部摩擦角が圧縮力の増大につれて減少する傾向があるから、より大きい応力範囲ではMohrの破壊基準によるものと予想される。なお図-8から、この試料に対しては排水を行わずの試験は不可欠であり、我料的には土質材料に属すると考えてよい。

以上から求まる結論は、この側圧範囲に及ぶ強度の増大は圧密排水、さらにせん断時の排水によって期待できるから、重量構造物の基礎地盤とするためには排水を促進する工法を考へる必要がある。

本研究は本州四国東海各道から財団法人防災研究協会への委託研究の一環として行っているものであり、研究全般に渡っては大阪府立工業高等専門学校の上中初矢助教と実験には本学技官、田伏宜夫君の助力を得ていることを付記して感謝の意を表す。

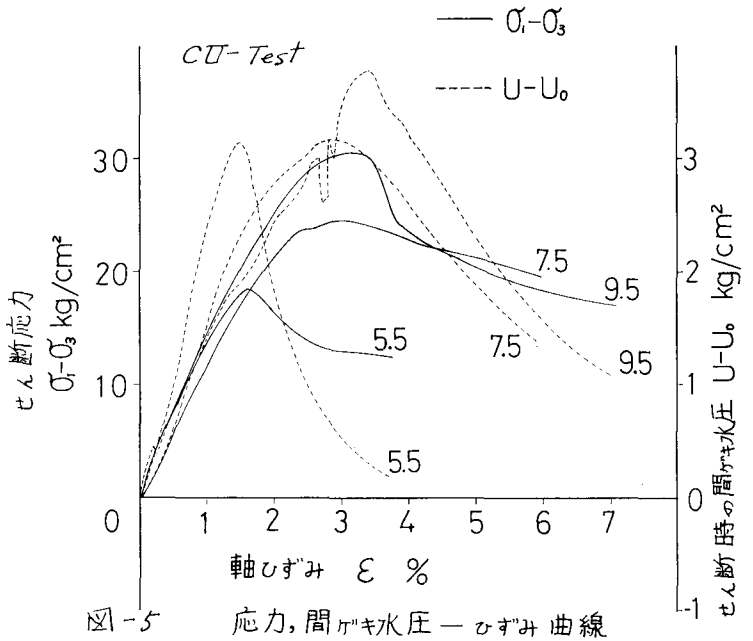


図-5 応力、間隙水圧 - ひずみ曲線

参考文献

(1) 例として、Deere, D. D.; "Rock Mechanics in Engineering Practice", ed. by Stagg & Zienkiewicz, John Wiley & Sons, pp. 4-12, 1968

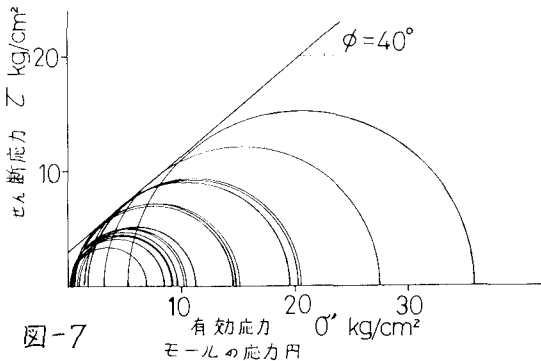


図-7

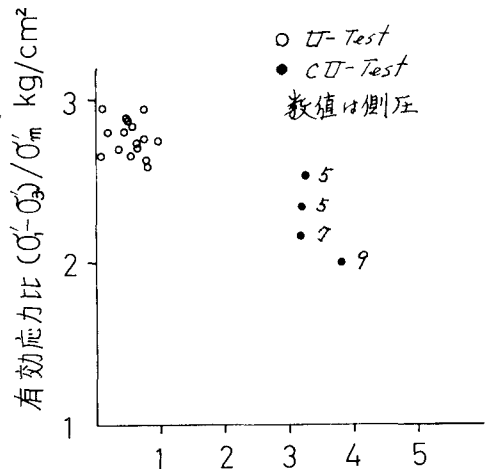


図-8 発生間隙水圧  $U - U_0$   $\text{kg/cm}^2$  有効応力比 - 間隙水圧 関係